

УДК 532.51.013.4:536.252

© 2005 г. К. Г. ШВАРЦ

## ВЛИЯНИЕ ВРАЩЕНИЯ НА УСТОЙЧИВОСТЬ АДВЕКТИВНОГО ТЕЧЕНИЯ В ГОРИЗОНТАЛЬНОМ СЛОЕ ЖИДКОСТИ ПРИ МАЛОМ ЗНАЧЕНИИ ЧИСЛА ПРАНДТЛЯ

Исследуется устойчивость адвективного течения во вращающемся бесконечном горизонтальном слое жидкости с твердыми границами при малом значении числа Прандтля  $Pr = 0.1$  для различных значений числа Тейлора в случае возмущений гидродинамического типа. В рамках линейной теории устойчивости получены нейтральные кривые, описывающие зависимость критического числа Грасгофа от волнового числа. Численно изучается поведение конечно-амплитудных возмущений за порогом устойчивости.

*Ключевые слова:* адвективное течение, вращение, устойчивость, нормальные возмущения, нейтральная кривая, конечно-амплитудные возмущения.

В плоском горизонтальном слое жидкости при наличии вдоль границ постоянного градиента температуры возникает адвективное течение. При наличии вращения такие течения были впервые описаны аналитически в [1]. Их особенностью является отсутствие вертикальной компоненты скорости, вектор скорости в потоке  $v$  перпендикулярен силе плавучести, однако имеются обе горизонтальные компоненты. Адвективное течение во вращающемся слое имеет характерную спиралевидную форму, подобную изотермическому течению Экмана [2]. С увеличением разности температур интенсивность адвективного движения возрастает, и оно становится неустойчивым. При этом гидродинамический кризис сопровождается кризисом теплопередачи. Образующееся при потере устойчивости вторичное течение в свою очередь тоже может быть неустойчивым. Последовательность кризисов устойчивости приводит в конце концов к турбулентности.

В первых работах по исследованию устойчивости адвективного течения во вращающемся слое жидкости [3–6] рассматривалась задача о течении в слое с твердыми границами при  $Pr = 6.7$  (вода). Было показано, что вращение стабилизирует адвективное течение, неустойчивость имеет колебательный характер. Вращение приводит к возникновению надкритических возмущений в виде нестационарных, винтообразных трехмерных вихрей, расположенных в потенциально неустойчивых зонах температуры и движущихся периодически вдоль границ слоя. С ростом числа Тейлора вихри локализуются вблизи горизонтальных границ.

Устойчивость адвективных течений, возникающих в слое без вращения, исследована довольно основательно, прежде всего в работах [7–9]. В частности, было показано, что при малых значениях числа Прандтля нормальные возмущения в виде валов с осями, перпендикулярные основному потоку (“плоские возмущения”), приводят к неустойчивости, обусловленной гидромеханическим механизмом. Она связана с развитием вихрей на границе встречных потоков. При конечных  $Pr$  в области образования вихрей имеется устойчивая температурная стратификация, затрудняющая их развитие. В работе [10] проведены расчет и анализ конечно-амплитудных режимов.

Цель данной работы – исследование влияния вращения на устойчивость адвективного течения в горизонтальном слое жидкости с твердыми границами при малом значении числа Прандтля ( $Pr = 0.1$ ) в случае возмущений гидродинамического типа.

**1. Постановка задачи.** Рассмотрим плоский горизонтальный слой несжимаемой жидкости, ограниченный твердыми плоскостями  $Z = \pm h$  и вращающийся с постоянной угловой скоростью  $\Omega_0$ . Ось вращения совпадает с вертикальной осью координат. На обеих границах слоя задана температура, линейно меняющаяся с горизонтальной координатой  $x$ , условие прилипания и замкнутости потока

$$Z = \pm h: T = Ax, \quad A = \text{const}, \quad \mathbf{v} = 0, \quad \int_{-h}^h v_x dz = 0 \quad (1.1)$$

Исследование будем проводить на основе уравнений конвекции в приближении Буссинеска во вращающейся системе отсчета в декартовой системе координат [11]. Предполагаем, что число Фруда  $Fr = \Omega_0^2 l/g \ll 1$  ( $g$  – ускорение свободного падения,  $l$  – горизонтальный масштаб), поэтому центробежной конвективной силой можно пренебречь. Выбрав в качестве единиц измерения длины, времени, скорости, температуры и давления соответственно  $h$ ,  $h^2/\nu$ ,  $g\beta Ah^3/\nu$ ,  $Ah$ ,  $\rho_0 g\beta Ah^3$  (где  $\nu$  – кинематическая вязкость,  $\beta$  – коэффициент теплового расширения,  $\rho_0$  – средняя плотность), получим уравнения в безразмерном виде

$$\frac{\partial \mathbf{v}}{\partial t} + Gr(\mathbf{v}\nabla)\mathbf{v} + \sqrt{Ta}(\mathbf{e}_z \times \mathbf{v}) = -\nabla P + \Delta \mathbf{v} + T\mathbf{e}_z$$

$$\text{div } \mathbf{v} = 0, \quad \frac{\partial T}{\partial t} + Gr\mathbf{v}\nabla T = \frac{1}{Pr}\Delta T \quad (1.2)$$

$$Gr = \frac{g\beta Ah^4}{\nu^2}, \quad Ta = \left(\frac{2\Omega_0 h^2}{\nu}\right)^2, \quad Pr = \frac{\nu}{\chi}$$

где  $\mathbf{v}(t, x, y, z) = (v_x, v_y, v_z)$  – вектор скорости,  $T$  – температура,  $P$  – давление,  $\mathbf{e}_z = (0, 0, 1)$  – орт-вектор вертикальной оси  $z$ ,  $Gr$  – число Грасгофа,  $Ta$  – число Тейлора,  $Pr$  – число Прандтля,  $\chi$  – коэффициент температуропроводности.

Для граничных условий (1.1) в плоском вращающемся слое несжимаемой жидкости формируется однородное по  $x, y$  стационарное адвективное течение, которое описывается аналитически [3]:

$$u_0(z) = \frac{1}{\sqrt{Ta}} \text{Im} f_1(z), \quad v_0(z) = \frac{1}{\sqrt{Ta}} [z - \text{Re} f_1(z)]$$

$$T_0 = x + GrPr\tau_0(z), \quad \tau_0 = \frac{1}{\sqrt{Ta}} v_0(z), \quad p_0 = xz + \int_{-1}^z \frac{GrPr}{\sqrt{Ta}} v_0(\zeta) d\zeta \quad (1.3)$$

$$f_1(z) = \frac{\sinh(\mu z)}{\sinh(\mu)}, \quad \mu = \sqrt[4]{Ta} \frac{1+i}{\sqrt{2}}, \quad i = \sqrt{-1}$$

Профили компонент скорости  $u_0(z)$ ,  $v_0(z)$  и соответственно  $\tau_0(z)$  антисимметричны относительно оси  $x$ . Они описывают характерное спиралевидное движение. Температура представляется в виде функции, описывающей два антисимметричных тепловых потока, направленных в противоположные стороны. С ростом числа Тейлора вблизи твердых границ образуются пограничные слои скорости и температуры, их относительная ширина убывает пропорционально  $\sqrt[4]{Ta/4}$ .

Для исследования устойчивости стационарного адвективного течения (1.3) применим метод малых возмущений

$$\mathbf{v} = \mathbf{v}_0 + \mathbf{V}, \quad \mathbf{v}_0 = (u_0, v_0, 0), \quad \mathbf{V} = (u, v, w), \quad T = T_0 + \theta, \quad P = p_0 + P' \quad (1.4)$$

Подставим возмущенные поля (1.4) в исходную систему (1.2) и граничные условия (1.1), получим следующую задачу:

$$\frac{\partial \mathbf{V}}{\partial t} + \text{Gr}[(\mathbf{V}\nabla)\mathbf{V} + (\mathbf{V}\nabla)\mathbf{v}_0 + (\mathbf{v}_0\nabla)\mathbf{V}] + \sqrt{\text{Ta}}(\mathbf{e}_z \times \mathbf{V}) = -\nabla P' + \Delta \mathbf{V} + \theta \mathbf{e}_z \quad (1.5)$$

$$\text{div} \mathbf{V} = 0$$

$$\frac{\partial \theta}{\partial t} + \text{Gr}[\mathbf{V}\nabla\theta + \mathbf{V}\nabla T_0 + \mathbf{v}_0\nabla\theta] = \frac{1}{\text{Pr}}\Delta\theta \quad (1.6)$$

$$z = \pm 1: \mathbf{V} = 0, \quad \theta = 0$$

**2. Линейная теория.** В рамках линейной теории устойчивости в уравнениях (1.5) пренебрежем квадратичными по возмущениям  $\mathbf{V}$  и  $\theta$  слагаемыми. Рассмотрим периодические по  $x$  возмущения в виде валов с осью, перпендикулярной оси  $x$ . Уравнения возмущений выводятся из линеаризованной системы (1.5)–(1.6) в предположении, что производная по  $y$  от всех функций равна нулю. В случае отсутствия вращения такие возмущения назывались плоскими, так как в получаемых уравнениях остаются только две компоненты возмущения скорости. В рассматриваемом случае имеются все три компоненты, которые, так же как и возмущение температуры, суть функции времени и двух пространственных координат  $x, z$ , поэтому в дальнейшем будем называть эти возмущения винтовыми.

Введем функцию тока возмущений  $\psi(t, x, z)$  и вихря возмущения скорости  $\phi$ :

$$u = -\frac{\partial \psi}{\partial z}, \quad w = \frac{\partial \psi}{\partial x}, \quad \phi = \frac{\partial u}{\partial z} - \frac{\partial w}{\partial x} = -\Delta \psi, \quad \Delta = \frac{\partial^2}{\partial x^2} + \frac{\partial^2}{\partial z^2}$$

$$\phi = [\phi_1(t, z) + i\phi_2(t, z)] \exp(ik_x x), \quad \psi = [\psi_1(t, z) + i\psi_2(t, z)] \exp(ik_x x)$$

$$v = [v_1(t, z) + iv_2(t, z)] \exp(ik_x x), \quad \theta = [\theta_1(t, z) + i\theta_2(t, z)] \exp(ik_x x)$$

где  $k_x$  – волновое число. В результате задача сведется к системе линейных уравнений в частных производных по времени  $t$  и переменной  $z$ , со следующими начальными условиями по  $t$  и граничными условиями по  $z$ :

$$\frac{\partial \phi_1}{\partial t} - k_x \text{Gr}[u_0(z)\phi_2 + u_0''(z)\psi_2] - \sqrt{\text{Ta}} \frac{\partial v_1}{\partial z} = \frac{\partial^2 \phi_1}{\partial z^2} - k_x^2 \phi_1 + k_x \theta_2$$

$$\frac{\partial^2 \psi_\alpha}{\partial z^2} - k_x^2 \psi_\alpha + \phi_\alpha = 0 \quad (\alpha = 1, 2)$$

$$\frac{\partial \phi_2}{\partial t} + k_x \text{Gr}[u_0(z)\phi_1 + u_0''(z)\psi_1] - \sqrt{\text{Ta}} \frac{\partial v_2}{\partial z} = \frac{\partial^2 \phi_2}{\partial z^2} - k_x^2 \phi_2 - k_x \theta$$

$$\frac{\partial v_1}{\partial t} - k_x \text{Gr}[u_0(z)v_2 + v_0'(z)\psi_2] - \sqrt{\text{Ta}} \frac{\partial \psi_1}{\partial z} = \frac{\partial^2 v_1}{\partial z^2} - k_x^2 v_1 \quad (2.1)$$

$$\frac{\partial v_2}{\partial t} + k_x \text{Gr} [u_0(z) v_1 + v_0'(z) \psi_1] - \sqrt{\text{Ta}} \frac{\partial \psi_2}{\partial z} = \frac{\partial^2 v_2}{\partial z^2} - k_x^2 v_2$$

$$\frac{\partial \theta_1}{\partial t} - k_x \text{Gr} \left[ u_0(z) \theta_2 + \frac{\text{Ra}}{\sqrt{\text{Ta}}} v_0'(z) \psi_2 \right] - \text{Gr} \frac{\partial \psi_1}{\partial z} = \frac{1}{\text{Pr}} \left[ \frac{\partial^2 \theta_1}{\partial z^2} - k_x^2 \theta_1 \right]$$

$$\frac{\partial \theta_2}{\partial t} + k_x \text{Gr} \left[ u_0(z) \theta_1 + \frac{\text{Ra}}{\sqrt{\text{Ta}}} v_0'(z) \psi_1 \right] - \text{Gr} \frac{\partial \psi_2}{\partial z} = \frac{1}{\text{Pr}} \left[ \frac{\partial^2 \theta_2}{\partial z^2} - k_x^2 \theta_2 \right]$$

$$v_\alpha = \theta_\alpha = \sin^2 \pi z, \quad \phi_\alpha = 2\pi^2 \cos 2\pi z \quad (\alpha = 1, 2) \quad (2.2)$$

$$z = \pm 1: \psi_\alpha = \frac{\partial \psi_\alpha}{\partial z} = v_\alpha = \theta_\alpha = 0 \quad (\alpha = 1, 2) \quad (2.3)$$

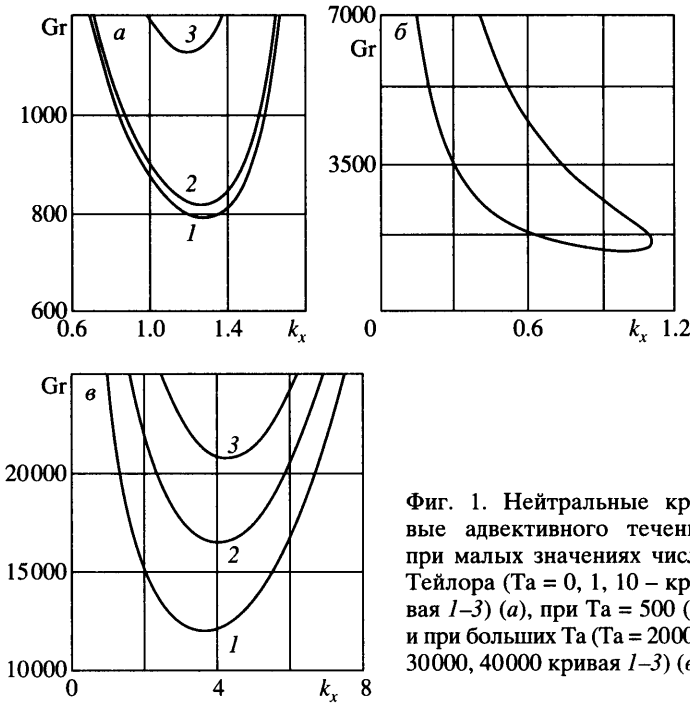
Число Рейля  $\text{Ra} = \text{GrPr}$ .

Система (2.1)–(2.3) решается по численной методике, описанной в работе [5], аналогичной схемам двухполюсового метода [12], который используется для решения двумерных задач в переменных функции тока и вихря скорости. Уравнения для возмущения вихря и функции тока решаются с помощью классической неявной схемы. Вихри  $\phi_{1,2}$  на границах аппроксимируются по формуле Вудса [12]. Число узлов сетки бралось равным 201, оно определяется требуемой точностью приближенного решения и шириной пограничного слоя, уменьшающейся с ростом  $\text{Ta}$ . Число Тейлора изменялось в интервале  $0 \leq \text{Ta} \leq 10^5$ , число Прандтля зафиксировано:  $\text{Pr} = 0.1$ .

Для построения нейтральной кривой, описывающей зависимость критического числа Грасгофа от волнового числа  $k_x$  при фиксированном числе Тейлора, для каждого выбранного значения  $k_x$  требуется найти такое число Грасгофа, при котором действительная часть декремента возмущений  $\lambda = \lambda_1 + i\lambda_2$  равна нулю. Иными словами, решается задача о поиске корня  $\lambda_1 = 0$  для неявной функции  $\lambda_1(k_x, \text{Gr}, \text{Ta})$ . Эта функция строилась дискретно по точкам с помощью многократного решения эволюционной задачи (2.1)–(2.3) методом сеток. Для нахождения действительной части декремента возмущений  $\lambda_1$  прослеживалась эволюция во времени максимумов по модулю неизвестных. В качестве аппроксимации зависимости амплитуд от времени использована экспоненциальная формула  $S \exp(\lambda_1 t)$ . Неизвестные  $S$  и  $\lambda_1$  определялись методом наименьших квадратов [13] по ходу вычислений уравнений системы. Нулевое значение декремента возмущений уточняется методом хорд.

Расчеты показали, что вращение не меняет монотонный характер неустойчивости адвективного течения. Анализ нейтральных кривых (фиг. 1) показывает, что при  $0 \leq \text{Ta} < 279$  критическое число Грасгофа  $\text{Gr}_c$  резко возрастает с ростом числа Тейлора (фиг. 2, а, кривая 1), т.е. слабое вращение стабилизирует адвективное течение. При этом волновое число  $k_x$ , соответствующее  $\text{Gr}_c$ , сначала убывает в интервале  $0 \leq \text{Ta} \leq 65$  с ростом  $\text{Ta}$  (фиг. 2, б, кривая 1), а при  $\text{Ta} > 65$  оно начинает возрастать. Исследование порога устойчивости очень затруднительно в интервале  $100 < \text{Ta} < 279$ , где критическое значение числа Грасгофа принимает очень большие значения.

При  $\text{Ta} = 295$  появляется длинноволновая неустойчивость, волновое число, соответствующее  $\text{Gr}_c$ , равно 0.074. Численный анализ дает приближенную оценку его роста на интервале  $295 \leq \text{Ta} \leq 10^5$  пропорционально  $\text{Ta}^{0.25}$  (фиг. 2, б, кривая 2). При  $279 \leq \text{Ta} \leq 550$  с ростом числа Тейлора происходит дестабилизация течения, критическое число Грасгофа убывает (фиг. 2, а, кривая 2). Нейтральные кривые (фиг. 1, б) имеют нижние и верхние ветви: для каждого волнового числа имеется интервал неустойчивости по  $\text{Gr}$ . Начиная с  $\text{Ta} \geq 550$  критическое число Грасгофа монотонно возрастает с ростом числа Тейлора (фиг. 2, а, кривая 2). Численный анализ показывает, что



Фиг. 1. Нейтральные кривые адвективного течения при малых значениях числа Тейлора ( $Ta = 0, 1, 10$  – кривая 1–3) (а), при  $Ta = 500$  (б) и при больших  $Ta$  ( $Ta = 20000, 30000, 40000$  кривая 1–3) (е)

на интервале  $550 \leq Ta \leq 10^5 Gr_c$  возрастает пропорционально  $Ta^{0.875}$ . Вид нейтральных кривых становится подобным виду нейтральных кривых для малых  $Ta$  (фиг. 1, е). Таким образом, быстрое вращение стабилизирует адвективное течение в плоском горизонтальном слое жидкости при малом числе Прандтля для данного вида нормальных возмущений.

**3. Конечно-амплитудные пространственные возмущения.** Поведение возмущений конечной амплитуды в надкритической области и вторичные течения исследуются на основе нелинейной системы (1.5), (1.6), для пространственных винтовых периодических по  $x$  возмущений она имеет вид

$$\frac{\partial \phi}{\partial t} + Gr \left[ -\frac{\partial \psi \partial \phi}{\partial z \partial x} + \frac{\partial \psi \partial \phi}{\partial x \partial z} + u_0(z) \frac{\partial \phi}{\partial x} + u_0''(z) \frac{\partial \psi}{\partial x} \right] - \sqrt{Ta} \frac{\partial v}{\partial z} = \Delta \phi - \frac{\partial \theta}{\partial x}$$

$$\Delta \psi + \phi = 0$$

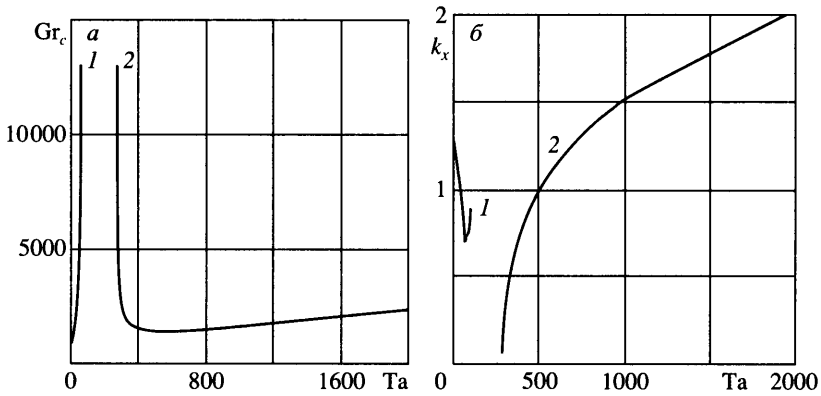
$$\frac{\partial v}{\partial t} + Gr \left[ -\frac{\partial \psi \partial v}{\partial z \partial x} + \frac{\partial \psi \partial v}{\partial x \partial z} + u_0(z) \frac{\partial v}{\partial x} + v_0'(z) \frac{\partial \psi}{\partial x} \right] - \sqrt{Ta} \frac{\partial \psi}{\partial z} = \Delta v \tag{3.1}$$

$$\frac{\partial \theta}{\partial t} + Gr \left[ -\frac{\partial \psi \partial \theta}{\partial z \partial x} + \frac{\partial \psi \partial \theta}{\partial x \partial z} + u_0(z) \frac{\partial \theta}{\partial x} - \frac{\partial \psi}{\partial z} + \frac{Ra}{\sqrt{Ta}} v_0'(z) \frac{\partial \psi}{\partial x} \right] = \frac{1}{Pr} \Delta \theta$$

Граничные условия

$$z = \pm 1: \psi = \frac{\partial \psi}{\partial z} = v = \theta = 0 \tag{3.2}$$

$$\begin{aligned} \psi(t, 0, z) &= \psi(t, L, z), & \phi(t, 0, z) &= \phi(t, L, z) \\ v(t, 0, z) &= v(t, L, z), & \theta(t, 0, z) &= \theta(t, L, z) \end{aligned} \tag{3.3}$$



Фиг. 2. Зависимость критического числа Грасгофа  $Gr_c$  (а) и соответствующего ему волнового числа  $k_x$  (б) от числа Тейлора

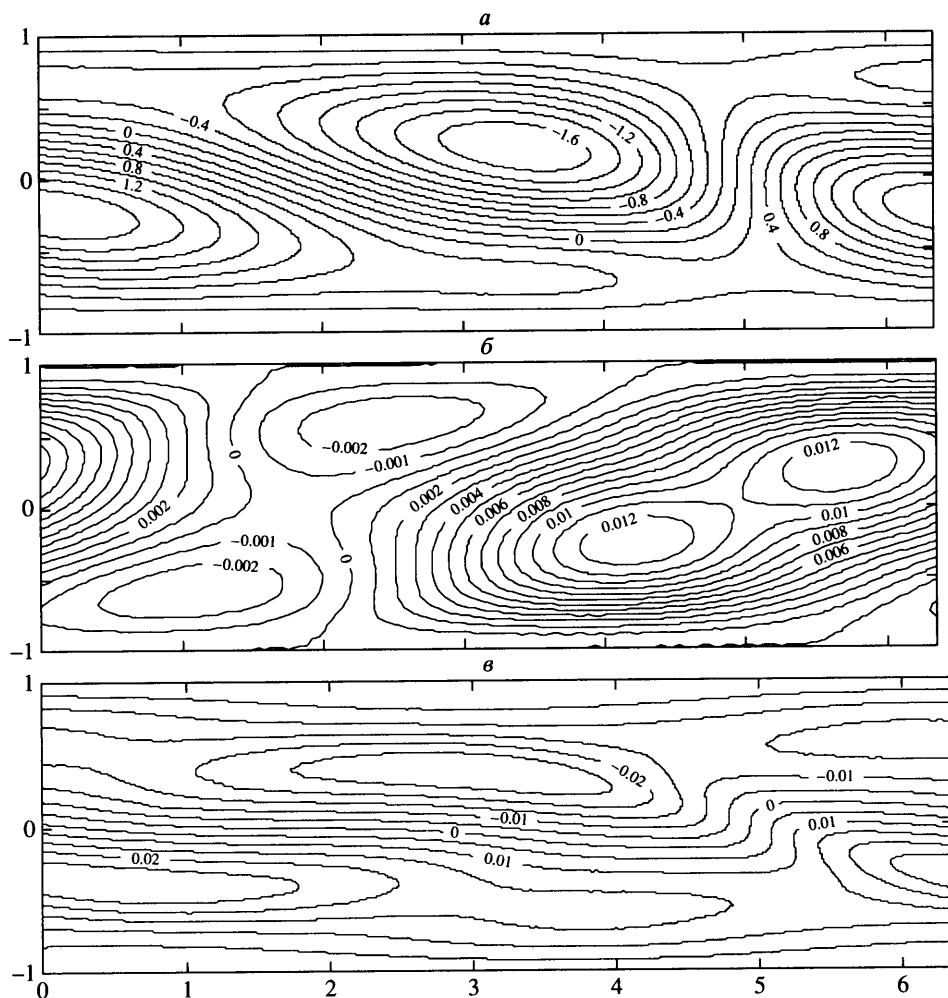
где  $L$  – длина волны возмущений, соответствующая критическому числу Грасгофа для фиксированного числа Тейлора.

Функция тока  $\psi(t, x, z)$  описывает проекцию движения конечно-амплитудных возмущений на плоскость  $XZ$ . Вторая же компонента скорости  $u(t, x, z)$  описывает проекцию движения конечно-амплитудных возмущений на плоскость  $YZ$  или  $XY$ . Положительная величина скорости описывает движение вглубь, а отрицательное значение – движение в противоположном направлении, перпендикулярное плоскости  $XZ$ .

С помощью системы уравнений (3.1) с граничными условиями (3.2)–(3.3) исследовалась структура конечно-амплитудных возмущений, возникающих в горизонтальном слое жидкости для значений числа Грасгофа выше критического при  $Pr = 0.1$  и для различных значений  $Ta$ . Нелинейная двумерная задача решалась численно методом сеток. В рамках двухполюсового метода [12] использована явная конечно-разностная схема. Уравнение Пуассона для функции тока решалось методом последовательной верхней релаксации. Вихрь на твердых границах аппроксимировался по формуле Вудса. Основные расчеты проводились на сетке  $41 \times 150$  для  $0 \leq Ta \leq 10^5$ . В качестве начальных возмущений неизвестных бралась функция  $\cos(2\pi x/L)\sin^2\pi z$ , удовлетворяющая граничным условиям (3.2)–(3.3).

Расчеты, проведенные для случая отсутствия вращения при  $Ta = 0$ , подтвердили результаты [7–9]. Вблизи от минимумов нейтральных кривых возмущения температуры представляют собой систему чередующихся теплых и холодных пятен вдоль оси  $X$ , а функция тока возмущений описывает систему стационарных вихрей, расположенных также вдоль оси абсцисс и охватывающих весь поток. Косинус угла наклона вихрей к оси  $X$  положительный.

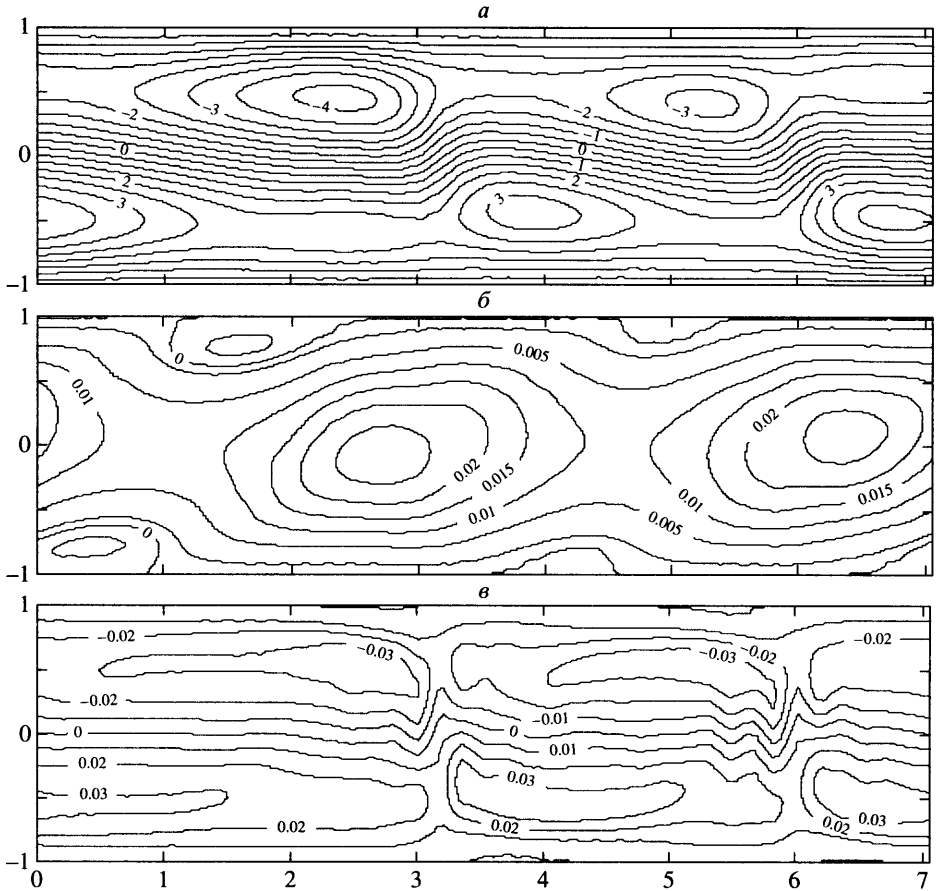
При слабом вращении для  $0 < Ta < 50$  с ростом числа Тейлора (фиг. 3, а) уменьшаются вертикальные размеры чередующихся тепловых пятен (примерно в 2 раза при  $Ta = 40$ ). Холодные пятна начинают локализоваться в верхней половине, а теплые – в нижней половине слоя жидкости. Конечно-амплитудные возмущения образуют систему пространственных вихрей. Проекция движения, описанная функцией тока возмущений, представляет собой систему чередующихся стационарных пар вращающихся в одинаковом направлении вихрей. Причем пары вихрей, вращающихся в плоскости  $XZ$  по часовой стрелке, увеличиваются в размерах, амплитуда же вихрей, вращающихся против часовой стрелки, уменьшается (фиг. 3, б). Одновременно  $u$ -я компонента скорости возмущения, имеющая в верхней половине слоя отрицательное значение, а в ни-



Фиг. 3. Изотермы  $\theta$  (а), линии тока  $\psi$  (б) и изолинии компоненты скорости  $v$  (в) стационарных конечно-амплитудных возмущений при  $Ta = 40$ ,  $Gr = 4000$

жней – положительное (фиг. 3, в), описывает вращение стационарных вихрей против часовой стрелки в плоскости  $YZ$ .

При  $50 \leq Ta < 279$  конечно-амплитудные возмущения приобретают нестационарный характер. Можно выделить две основные периодически меняющиеся по времени картины течения. На первой фазе распределение тепловых пятен и расположение вихрей вдоль слоя аналогично стационарному распределению, возникшему при меньших значениях числа Тейлора и представленному на фиг. 3. Затем с течением времени пара вихрей, вращающаяся по часовой стрелке в плоскости  $XZ$ , разворачивается и вытесняет из центра слоя пару вихрей, движущуюся против часовой стрелки. В результате во второй фазе (фиг. 4, б) в центре слоя вдоль оси  $X$  возникает цепочка вихрей, вращающихся по часовой стрелке в плоскости  $XZ$ . Затем снова повторяется первая фаза. В то же время скорость  $u(t, x, z)$  остается преимущественно отрицательной в верхней половине и преимущественно положительной в нижней половине



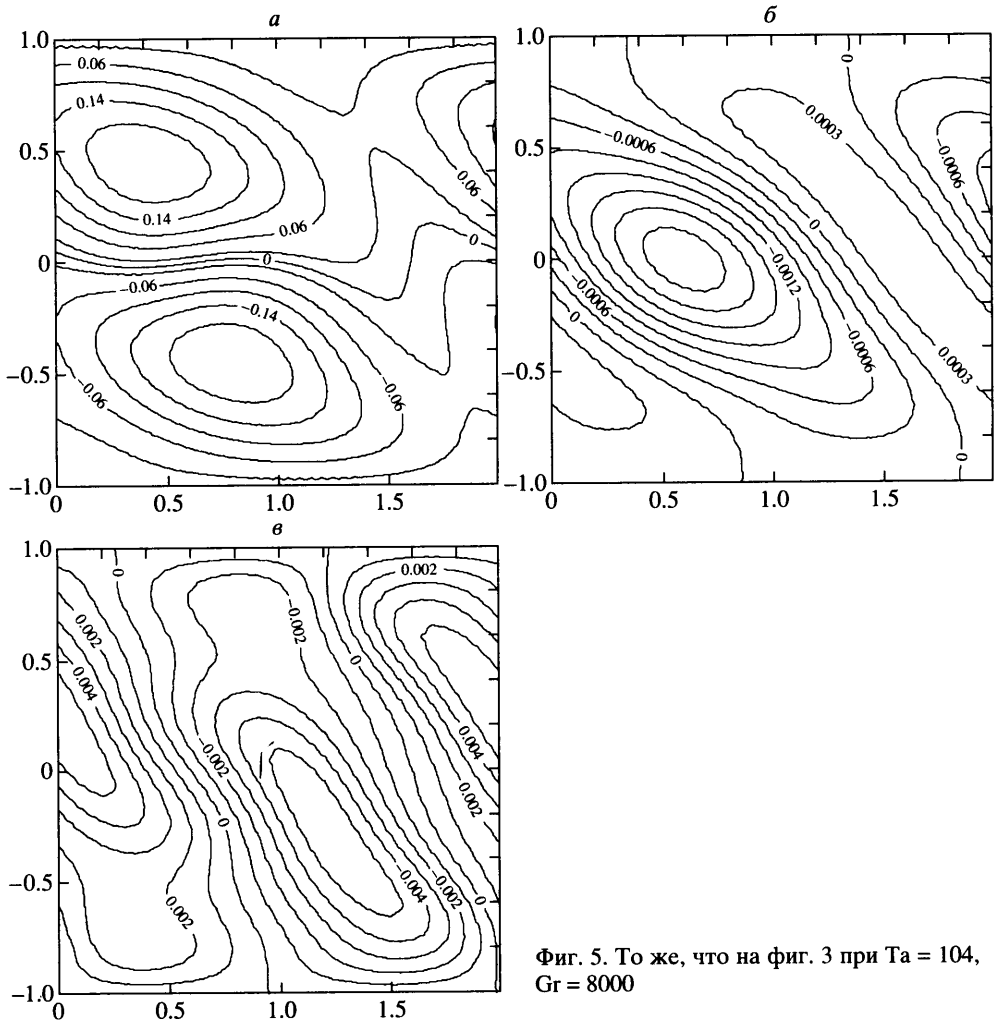
Фиг. 4. То же, что на фиг. 3 для второй фазы нестационарных конечно-амплитудных возмущений при  $Ta = 50$ ,  $Gr = 7000$

слоя (фиг. 4, в). В верхней половине слоя жидкость холоднее, чем в нижней половине (фиг. 4, а).

При больших значениях числа Тейлора температурное расслоение жидкости изменяется: жидкость в верхней половине слоя теплее, чем в нижней (фиг. 5, а). Функция тока возмущений описывает систему стационарных вихрей, расположенных вдоль оси абсцисс и охватывающих весь поток (фиг. 5, б). Однако косинус угла наклона вихрей к оси  $X$  отрицательный в отличие от случая малых значений  $Ta$  (фиг. 3, б). Амплитуда вихрей, вращающихся в плоскости  $XZ$  по часовой стрелке, меньше, чем амплитуда вихрей, вращающихся против часовой стрелки. Компонента скорости возмущений  $v$  меняет свое значение с положительного на отрицательное не поперек слоя, как раньше, а вдоль оси  $X$  (фиг. 5, в). Таким образом, описывается вращение чередующихся стационарных вихрей в плоскости  $XY$ , то по, то против часовой стрелки.

**Заключение.** На основе расчетов, проведенные в интервале чисел Тейлора  $Ta$ :  $0 \leq Ta \leq 10^5$ , оценено влияние вращения на устойчивость адвективного течения в плоском горизонтальном слое жидкости при малом числе Прандтля  $Pr = 0.1$  для нормальных возмущений в виде валов с осями, перпендикулярными направлению градиента температуры на границах слоя (гидродинамическая мода).





Фиг. 5. То же, что на фиг. 3 при  $Ta = 104$ ,  $Gr = 8000$

В рамках линейной теории вращение не меняет монотонный характер неустойчивости течения. Численный анализ показывает, что при  $0 \leq Ta < 279$  и  $550 \leq Ta \leq 10^5$  с ростом числа Тейлора возрастает критическое число Грасгофа  $Gr_c$ , увеличивается устойчивость адвективного течения. При  $279 < Ta \leq 550$   $Gr_c$  убывает с ростом числа Тейлора. Таким образом, вращение стабилизирует адвективное течение, за исключением небольшого интервала значений  $Ta$ . Волновое число  $k_x$ , соответствующее критическому числу Грасгофа, с ростом  $Ta$  уменьшается в интервале  $0 \leq Ta \leq 65$ , а при  $65 < Ta < 279$  возрастает. При  $Ta \geq 295$  развивается неустойчивость, для которой волновое число  $k_x$  растет пропорционально  $Ta^{0.25}$ .

Поведение конечно-амплитудных возмущений, возникающих в слое жидкости при значениях числа Грасгофа выше критического, исследовано методом сеток на основе нелинейной задачи. Возмущения температуры представляют собой систему чередующихся теплых и холодных пятен, расположенных вдоль направления градиента температуры на границах слоя. С ростом числа Тейлора их вертикальные размеры уменьшаются. При  $0 \leq Ta \leq 295$  жидкость в верхней половине слоя холоднее, чем в нижней, а при

$Ta \geq 295$ , наоборот, она теплее в верхней половине слоя. При  $0 \leq Ta < 50$  и  $295 \leq Ta \leq 10^5$  вблизи от минимумов нейтральных кривых возмущения движения представляют собой систему стационарных пространственных вихрей, положение, количество и размер которых меняются в зависимости от числа Тейлора. В интервале  $50 \leq Ta < 295$  эти вихри нестационарные.

## СПИСОК ЛИТЕРАТУРЫ

1. *Аристов С.Н., Фрик П.Г.* Динамика крупномасштабных течений в тонких слоях жидкости: Препринт ИМСС УрО АН СССР. Свердловск, 1987. 47 с.
2. *Педлоски Дж.* Геофизическая гидродинамика: В 2 т. М.: Мир, 1981. 396 с.
3. *Аристов С.Н., Шварц К.Г.* Об устойчивости адвективного течения во вращающемся горизонтальном слое жидкости // Изв. РАН. МЖГ. 1999, № 5. С. 3–11.
4. *Шварц К.Г.* Конечно-амплитудные пространственные возмущения адвективного течения во вращающемся горизонтальном слое жидкости // Вычислительные технологии, 2001. Т. 6. Спец. выпуск. Ч. 2. Тр. Междунар. конф. RDAMM-2001. С. 702–707.
5. *Тарунин Е.Л., Шварц К.Г.* Исследование линейной устойчивости адвективного течения методом сеток // Вычисл. технологии. 2001. Т. 6. № 6. С. 108–117.
6. *Schwarz K.G.* Instability of Advective Flow in Rotating Horizontal Layer of Liquid // Selected Papers of the International conference "Fluxes and Structures in Fluids". St. Petersburg, Russia, June 23–26, 2003. Moscow. IPM RAS. 2004. P. 164–171.
7. *Гершуни Г.З., Жуховицкий Е.М., Мызников В.М.* Об устойчивости плоскопараллельного конвективного течения в горизонтальном слое // ПМТФ. 1974. № 1. С. 95–100.
8. *Гершуни Г.З., Жуховицкий Е.М., Мызников В.М.* Устойчивость плоскопараллельного конвективного течения жидкости в горизонтальном слое относительно пространственных возмущений // ПМТФ. 1974. № 5. С. 145–147.
9. *Gershuni G.Z., Laure P., Myznikov V.M., Roux B., Zhukhovitsky E.M.* On the stability of plane-parallel advective flows in long horizontal layers // Microgravity Q. 1992. V. 2. № 3. P. 141–151.
10. *Мызников В.М.* Конечно-амплитудные конвективные движения жидкости в горизонтальном слое с продольным градиентом температуры // Математические модели течений жидкости: Тр. VI Всесоюз. семинара по числ. методам механики вязкой жидкости. Новосибирск: ИТПМ СО АН СССР, 1978. С. 176–186.
11. *Гершуни Г.З., Жуховицкий Е.М.* Конвективная устойчивость несжимаемой жидкости. М.: Наука, 1972. 392 с.
12. *Тарунин Е.Л.* Вычислительный эксперимент в задачах свободной конвекции. Иркутск: Изд-во Иркут. ун-та, 1990. 225 с.
13. *Демидович В.П., Марон И.А., Шувалова Э.З.* Численные методы анализа. Приближение функций, дифференциальные и интегральные уравнения. М.: Наука, 1967. 368 с.

Пермь

Поступила в редакцию  
I.VI.2004